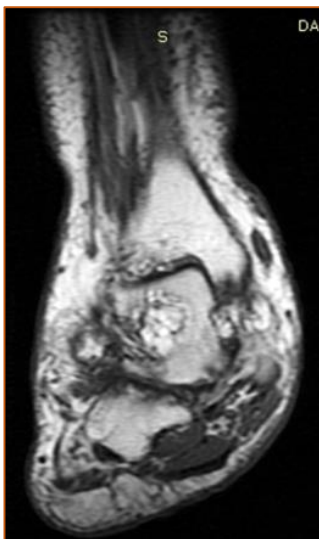


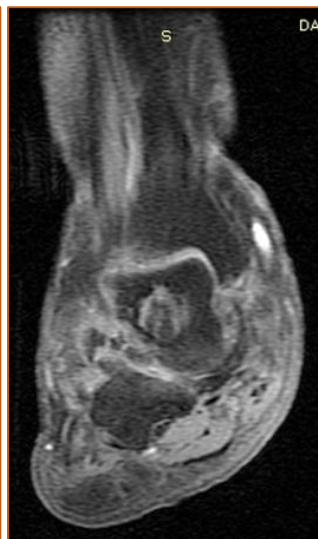
8 quiz Σεπτεμβρίου 2018 (απάντηση)

Άνδρας 71 ετών παρουσιάζει οίδημα και άλγος, χωρίς ειδικούς χαρακτήρες, σε αμφότερους τους άκρους πόδες. Υποβλήθηκε σε μαγνητική τομογραφία ποδοκνημικής άμφω (εικ. 1-3). Ακολούθησε έλεγχος με αξονική τομογραφία (εικ. 4). Τα απεικονιστικά ευρήματα ήσαν όμοια αμφοτεροπλεύρως. Παρέχονται οι εικόνες του δεξιού σκέλους.

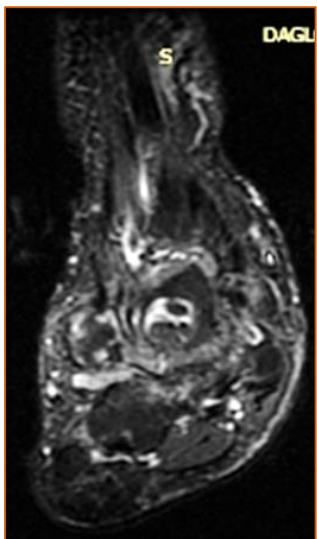
εικ. 1 (T1W)



εικ. 2 (T1W-FS)



εικ. 3 (STIR)



εικ. 4 (CT-οβελιαία αν/ση)



Ευρήματα: Εκτεταμένες αλλοιώσεις οστεοαρθρίτιδας των αρθρώσεων του ταρσού. Στρογγύλη αλλοίωση (τυχαίο εύρημα) σε σαφή παρυφή, που στην ακολουθία T1 παρουσιάζει υψηλό σήμα το οποίο καταστέλλεται στο κέντρο του στις ακολουθίες T1/FS και STIR. Το περιφερικό τμήμα της αλλοίωσης δεν καταστέλλεται. Στην αξονική τομογραφία η αλλοίωση παρουσιάζει σαφή παρυφή. Κεντρικά έχει πυκνότητες λίπους ενώ περιφερικά υψηλότερες πυκνότητες.

Η αλλοίωση του αστραγάλου αντιπροσωπεύει:

Ενδοστικό λίπωμα με στοιχεία κυστικής εκφύλισης, στάδιο 3 κατά Milgram (ετερογενείς βλάβες περιέχουσες λίπος, με σκληρυντικά όρια, περιοχές κυστικής εκφύλισης, πολλαπλές νεκρώσεις και εκτεταμένες αποτιτανώσεις ή εστίες οστεοποίησης).

References

1. Campbell RS, Grainger AJ, Mangham DC et-al. Intraosseous lipoma: report of 35 new cases and a review of the literature. *Skeletal Radiol.* 2003;32 (4): 209-22.
2. Milgram JW. Intraosseous lipomas: radiologic and pathologic manifestations. *Radiology.* 1988;167 (1): 155-60.
3. Chung CB, Murphey M, Cho G et-al. Osseous lesions of the pelvis and long tubular bones containing both fat and fluid-like signal intensity: an analysis of 28 patients. *Eur J Radiol.* 2005;53 (1): 103-9.
4. Eyzaguirre E, Liqiang W, Karla GM et-al. Intraosseous lipoma. A clinical, radiologic, and pathologic study of 5 cases. *Ann Diagn Pathol.* 2007;11 (5): 320-5.

Το περιστατικό προσφέρεται από το μέλος της ΕΕΜΑ Κάτια Ταβερναράκη.